

카이제곱 NHPP에 의한 소프트웨어 신뢰성 모형에 관한 연구

김희철*

The Study for NHPP Software Reliability Model based on Chi-Square Distribution

Hee-Cheul Kim*

요약

유한고장수를 가진 비동질적인 포아송 과정에 기초한 모형들에서 잔존 결합 1개당 고장 발생률은 일반적으로 상수, 혹은 단조증가 및 단조 감소 추세를 가지고 있다. 본 논문에서는 기존의 소프트웨어 신뢰성 모형인 Goel-Okumoto 모형과 Yamada-Ohba-Osaki 모형을 재조명하고 잔존 결합 1개당 고장 발생률이 증가추세를 가진 카이제곱 분포를 이용한 카이제곱 모형을 제안하였다. 고장 간격시간으로 구성된 자료를 이용한 모수추정 방법은 최우추정법과 일반적인 수치해석 방법인 이분법을 사용하여 모수 추정을 실시하고 효율적인 모형 선택은 편차자승합, AIC 통계량 및 콜모고로프 거리를 적용하여 모형들에 대한 효율성 입증방법을 설명하였다. 소프트웨어 고장 자료 분석에서는 카이제곱 모형에 대한 자유도를 형상모수의 최도로 간주하여 고장수가 비교적 큰 실측 자료(고장수가 86)인 Allen P.Nikora 와 Michael R.Lyu가 인용한 SYS2 자료를 통하여 분석하였다. 이 자료들에서 카이제곱 모형의 비교를 위하여 산술적 및 라플라스 검정, Kolmogorov 검정 등을 이용하였다.

Abstract

Finite failure NHPP models presented in the literature exhibit either constant, monotonic increasing or monotonic decreasing failure occurrence rates per fault. In this paper, Goel-Okumoto and Yamada-Ohba-Osaki model was reviewed, proposes the χ^2 reliability model, which can capture the increasing nature of the failure occurrence rate per fault. Algorithm to estimate the parameters used to maximum likelihood estimator and bisection method, model selection based on SSE, AIC statistics and Kolmogorov distance, for the sake of efficient model, was employed. Analysis of failure using real data set, SYS2(Allen P.Nikora and Michael R.Lyu), for the sake of proposing shape parameter of the χ^2 distribution using the degree of freedom, was employed. This analysis of failure data compared with the χ^2 model and the existing model using arithmetic and Laplace trend tests, Kolmogorov test is presented.

- ▶ Keyword : 소프트웨어 신뢰도 모형(Software Reliability Model), 비동질적인 포아송 과정(Nonhomogeneous Poisson Process), 카이제곱분포(χ^2 Distribution), 편의 검정(Bias Tests), 소프트웨어 신뢰도(Software Reliability), 편차자승합(Sum of the Squared Errors), 콜모고로프 거리(Kolmogorov distance)

• 제1저자 : 김희철
• 접수일 : 2005.12.06, 심사완료일 : 2006.02.24
* 남서울대학교 산업경영공학과 전임강사

I. 서 론

소프트웨어 테스팅 단계에서 소프트웨어 고장수(Number of failure)와 고장간격시간에 의해 소프트웨어 고장현상을 수리적으로 모형화 하면 소프트웨어에 대한 평가를 쉽게 할 수 있으며 신뢰도 모형에 의해 소프트웨어 고장수, 소프트웨어 고장발생간격시간, 소프트웨어 신뢰도 및 고장을 등의 신뢰성 평가측도들이 추정되어 미래의 고장시간을 예측할 수도 있다.

소프트웨어 고장시간은 수명자료가 된다. 따라서 비음(Nonnegative)의 값을 가지기 때문에 이 분야에서는 주로 지수분포, 와이블분포, 감마분포 등 일반화 감마 분포가 많이 사용되어 왔다. 그러나 이러한 감마분포 외에도 통계자료 해석시 자료를 대수변환 이 후에 정규분포로 처리하면 되는 대수정규분포(Lognormal distribution), 이 분포와 유사한 대수로지스틱 분포(Loglogistic distribution)도 이 분야에 사용이 가능하다[1]. 또, 자유도(Degree of freedom: df)에 의존하는 카이제곱(χ^2 distribution) 분포도 적용이 가능하다. 이러한 카이제곱 분포는 변화가 일어날 때 까지의 대기시간을 나타내는 데 많이 사용되는 감마분포(Gamma Distribution)의 특수한 경우로도 접근 할 수 있기 때문에 소프트웨어 신뢰성 수명분포로 설명 할 수 있다[2].

본 논문에서는 이러한 카이제곱 분포를 적용하여 NHPP 모형에 대한 신뢰성 척도를 추정하고 이를 바탕으로 자유도에 따른 모형의 효율성과 그 특성을 알아보고자 한다.

본 논문의 2장에서는 관련연구로서 유한 고장 NHPP 모형에 대하여 서술하였고 3장에서는 카이제곱 신뢰성 모형에 대하여 알아보았고 4장에서는 최우추정법을 이용한 모수추정에 대하여 설명하고 5장에서는 실측 소프트웨어 고장자료인 Allen P.Nikora 와 Michael R.Lyu 가 이용한 SYS2 자료를 이용하여 각 모형에 대한 모수추정 및 모형비교를 실시하였으며 마지막으로 5장에서는 결론을 서술 하였다.

II. 관련 연구

신뢰도에서 관측시간 $(0, t]$ 사이에 발견된 고장수 $N(t)$ 를 모형화 하는데 비동질적 포아송 과정(Non-homogeneous Poisson process: NHPP)이 널리 사용하여 왔다. 이 과정(Process)에서 강도함수(Intensity function) 혹은

고장 발생률(Rate of occurrence of failure; ROCOF) $\lambda(t) = dE[N(t)]/dt$ 은 t 에 대한 단조(Monotonic) 함수로 흔히 가정한다[3]. 이 범주에서 지금까지 알려진 모형들은 Goel-Okumoto 모형, Weibull 모형 그리고 Cox-Lewis 모형등이 있는데 이 모형들에 대한 강도함수는 각각 시간에 의존한 함수, 맥(Power) 함수, 대수선형(Log-linear) 함수를 가정하였다[2].

NHPP 모형에서 평균값 함수 $m(t)$ (Mean value function)와 강도 함수 $\lambda(t)$ 는 다음과 같은 관계로 표현 할 수 있다.

$$m(t) = \int_0^t \lambda(s) ds, \quad \frac{dm(t)}{dt} = \lambda(t) \quad \dots \dots \dots \quad (2.1)$$

$N(t)$ 는 모수 $m(t)$ 를 가진 포아송 확률밀도함수(Probability density function)로 알려져 있다. 즉,

$$P\{N(t) = n\} = \frac{[m(t)]^n \cdot e^{-m(t)}}{n!}, \quad n = 0, 1, 2, \dots \infty \quad \dots \dots \dots \quad (2.2)$$

이처럼 시간영역 모형(Time domain models)들은 NHPP에 의해서 확률 고장 과정으로 설명이 가능하다. 이러한 모형들은 고장 강도·함수 $\lambda(t)$ 가 다르게 표현됨으로서 평균값 함수 $m(t)$ 도 역시 다르게 나타난다. 이러한 NHPP 모형들은 유한 고장 모형과 무한 고장 범주로 분류한다[3].

유한 고장(Finite failure) NHPP 모형들은 충분한 테스트 시간이 주어지면 결함들(Faults)의 기대값이 유한 값 ($\lim_{t \rightarrow \infty} m(t) = \theta < \infty$)을 가지고 반면에 무한 고장(Infinte failure) NHPP 모형들은 무한 값을 가진다고 가정 된다.

유한 고장 NHPP 모형에서 충분한 테스트 시간이 주어졌을 때 탐색되어 질 수 있는 결함의 기대값을 θ 라고 표현하고 $F(t)$ 를 분포함수라고 표현하면 유한 고장 NHPP 모형의 평균값 함수는 다음과 같이 표현 할 수 있다[2].

$$m(t) = \theta F(t) \quad \dots \dots \dots \quad (2.3)$$

(2.3)식으로 부터 순간고장 강도함수(Instantaneous failure intensity function) $\lambda(t)$ 는 다음과 같이 유도된다.

$$\lambda(t) = \theta F'(t) \dots \quad (2.4)$$

III. 카이제곱분포를 이용한 신뢰성 모형

이 장에서 2변량 카이제곱분포($\sigma^2 \chi^2$ distribution)[4]를 이용한 신뢰성 모형을 설명하고자 한다. 우선 2변량 카이제곱분포의 확률밀도 함수는 다음과 같다.

(2.4)식을 다음과 같이 변형하여 표기 할 수도 있다.

$$\lambda(t) = [\theta - m(t)] \frac{F'(t)}{1-F(t)} = [\theta - m(t)] h(t) \quad \dots \dots \dots \quad (2.5)$$

단, $t > 0$, $\nu > 0$ 는 자유도이며 (2.6)식의 분포함수[4]는 다음과 같이 알려져 있다.

$$F_{\chi^2}(t | r, \sigma^2) = 1 - \exp \left(-\frac{t}{2\sigma^2} \right) \sum_{i=0}^{r-1} \frac{(t/2\sigma^2)^i}{i!} \quad \dots \dots \quad (2.7)$$

따라서 위험함수는 다음과 같이 정의된다.

$$h_{\chi^2}(t | \nu, \sigma^2) = \frac{f_{\chi^2}(t | \nu, \sigma^2)}{1 - F_{\chi^2}(t | \nu, \sigma^2)} \quad \dots \quad (2.8)$$

여기서 양의정수 $r = \nu/2$ 이고 σ^2 는 척도모수(Scale parameter)를 의미하며 ν 는 자유도(Degree of freedom, df) 이면서 형상모수(Shape parameter)이다.

소프트웨어 결함당 고장 발생률이 일정하거나 증가하는 특징을 가지는 모형이 카이제곱 분포가 되고 유한 고장 NHPP모형의 평균값 함수 $m(t)$ 와 강도함수 $\lambda(t)$ 는 다음과 같이 표현 할 수 있다.

$$m(t) = \theta F_{\chi^2}(t | r, \sigma^2) = \theta \left[1 - \exp \left(-\frac{t}{2\sigma^2} \right) \sum_{i=0}^{r-1} \frac{(t/2\sigma^2)^i}{i!} \right]$$

..... (2.9)

$$\lambda(t) = \theta f_{\chi^2}(t | \nu, \sigma^2) = \theta \frac{1}{2^{\nu/2} \sigma^\nu \Gamma(\nu/2)} t^{\nu/2-1} e^{-t/2\sigma^2} \quad \dots \dots \dots (2.10)$$

(그림 1) 은 자유도에 따른 카이제곱 모형의 위험함수를 나타낸 그림이다. 이 모형의 모수들은 <표 1>에 있는 고장 간격 데이터를 이용하여 추정된 결과를 이용하였다. 이 그림에서 Goel-Okumoto모형과 자유도가 2인 카이제곱 모형은 시간과 독립적으로 나타나고 있고 Yamada-Ohba-Osaki 모형, 자유도가 4, 6인 카이제곱 모형은 단조 비감소 (Monotonical nondecreasing) 형태를 보이고 있음을 확인 할 수 있다.

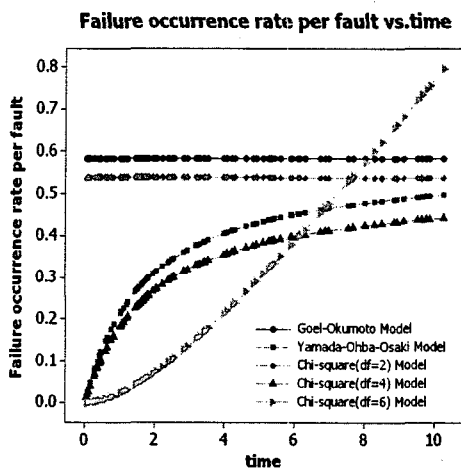


그림 1. 각 모형에 대한 위험함수
Figure 1. Hazard function of each model

IV. 신뢰성 모형에 대한 모수 추정

시간 $(0, t]$ 까지 조사하기 위한 시간 절단(Time truncated)모형은 n 번째 까지 고장시점 자료를

$$x_k = \sum_{k=1}^n t_k \quad (k=1, 2, \dots, n; 0 \leq x_1 \leq x_2 \leq \dots \leq x_n) \quad \dots \dots \dots (2.11)$$

이라고 하면 데이터 집합 D_t 는 $\{n, x_1, x_2 \dots x_n; t\}$ 와 같 이 구성된다. n 번째까지 고장시점이 관찰된 고장 절단 모형 일 경우에 데이터 집합 D_{x_n} 은 $\{x_1, x_2 \dots x_n\}$ 으로 구성된다.

이 시간 절단 모형에서의 Θ 를 모수공간이라고 표시하면 우도함수는 다음과 같이 알려져 있다[2,3].

$$L_{NHPP}(\Theta | D_{x_n}) = \left(\prod_{i=1}^n \lambda(x_i) \right) \exp(-m(x_n)) \quad \dots \dots \dots (2.12)$$

4.1 Goel-Okumoto모형과 Yamada-Ohba-Osaki 모형

Goel-Okumoto 모형[5]에 대한 평균값 함수는 $m_1(t) = \theta(1 - e^{-\beta_1 t})$ ($\theta > 0, \beta_1 > 0$)이라고 알려져 있다.

t 을 최종 고장시점 x_n 으로 대치하고 고장 발생률 $\lambda_1(t) = \theta \beta_1 e^{-\beta_1 t}$ 을 이용하면 우도함수는 다음과 같이 표현 할 수 있다.

$$L_{GO}(\theta, \beta_1 | D_{x_n}) = \left(\prod_{k=1}^n \theta \beta_1 e^{-\beta_1 x_k} \right) \exp[-\theta(1 - e^{-\beta_1 x_n})] \quad \dots \dots \dots (2.13)$$

최우추정법(MLE)을 이용하기 위한 로그우도함수를 구 하면,

$$\ln L_1 = n \ln \theta + n \ln \beta_1 - \beta_1 \sum_{k=1}^n x_k - \theta(1 - e^{-\beta_1 x_n}) \quad \dots \dots \dots (2.14)$$

으로 표현된다.

따라서 고장절단모형에서의 모수 θ 와 β_1 에 관한 편미분식은 다음과 같이 유도할 수 있다.

$$\frac{\partial \ln L_1}{\partial \theta} = \frac{n}{\theta} - 1 + e^{-\beta_1 x_n} = 0,$$

$$\frac{\partial \ln L_1}{\partial \beta_1} = \frac{n}{\beta_1} - \sum_{k=1}^n s_k - \theta x_n e^{-\beta_1 x_n} = 0$$

각 모수에 대한 최우추정량 $\hat{\theta}_{MLE}$ 와 $\hat{\beta}_1 MLE$ 은 다음식을 만족한다.

$$\frac{n}{\hat{\theta}} = 1 - \exp(-\hat{\beta}_1 x_n), \quad (2.15)$$

$$\frac{n}{\hat{\beta}_1} = \sum_{k=1}^n x_k + \hat{\theta} x_n \exp(-\hat{\beta}_1 x_n) \quad (2.16)$$

(2.15)식과 (2.16)식을 수치적으로 풀어 두 모수를 구할 수 있다.

Yamada-Ohba-Osaki 모형[6]에 대한 평균값 함수는 $m_2(t) = \theta [1 - (1 + \beta_2 t) e^{-\beta_2 t}]$ ($\theta > 0, \beta_2 > 0$)이라고 알려져 있고 $\lambda_2(t) = \theta \beta_2^2 t e^{-\beta_2 t}$ 가 되고 우도함수는 다음과 같다.

$$L_{YOO}(\theta, \beta_2 | D_{x_n}) = \left(\prod_{k=1}^n \theta \beta_2^2 x_k e^{-\beta_2 x_k} \right) \cdot \exp[-\theta [1 - (1 + \beta_2 x_n) e^{-\beta_2 x_n}]] \quad (2.17)$$

따라서 로그우도함수를 구하면 다음과 같이 표현된다.

$$\ln L_2 = n \ln \theta + 2n \ln \beta_2 + \sum_{k=1}^n \ln x_k - \beta_2 \sum_{k=1}^n x_k - \theta [1 - (1 + \beta_2 x_n) e^{-\beta_2 x_n}] \quad (2.18)$$

따라서 고장절단 모형에서의 모수 θ 와 β_2 에 관한 편미분식은 다음과 같은 형태로 유도된다.

$$\begin{aligned} \frac{\partial \ln L_2}{\partial \theta} &= \frac{n}{\theta} - 1 + e^{-\beta_2 x_n} + \beta_2 x_n e^{-\beta_2 x_n} = 0, \\ \frac{\partial \ln L_2}{\partial \beta_2} &= \frac{2n}{\beta_2} - \sum_{k=1}^n x_k - \theta \beta_2 x_n^2 e^{-\beta_2 x_n} = 0 \end{aligned}$$

따라서 각 모수에 대한 최우추정량은 $\hat{\theta}_{MLE}$ 와 $\hat{\beta}_2 MLE$ 은 다음식을 만족한다.

$$\frac{n}{\hat{\theta}} = 1 - \exp(-\hat{\beta}_2 x_n) - \hat{\beta}_2 x_n \exp(-\hat{\beta}_2 x_n) \quad (2.19)$$

$$\frac{2n}{\hat{\beta}_2} = \sum_{k=1}^n x_k + \hat{\theta} \hat{\beta}_2 x_n^2 \exp(-\hat{\beta}_2 x_n) \quad (2.20)$$

(2.19)식과 (2.20)식을 수치적으로 풀어 두 모수를 구할 수 있다.

4.2 카이제곱 모형

(2.12)식과 (2.9), (2.10)식을 연관하면 카이제곱 모형에 대한 우도함수는 다음과 같은 형태로 표현 할 수 있다.

$$L_{NHPP}(\theta, \nu, \sigma^2 | D_t) = \left(\prod_{i=1}^n \theta f_{x_i}(x_i) \right) \exp(-\theta F_{x_i}(x_n)) \quad (2.21)$$

따라서 최우추정법을 이용하기 위한 카이제곱 모형 로그 우도함수는 다음과 같이 유도된다
(단, $r = \nu/2$)[4].

$$\begin{aligned} \ln L(\theta, \sigma^2 | D_{x_n}) &= \ln n \theta + (\nu/2 - 1) \sum_{i=1}^n \ln x_i - \sum_{i=1}^n \frac{x_i}{2\sigma^2} \\ &- \frac{\nu n}{2} \ln 2 - n \ln \Gamma(\nu/2) - \nu n \ln \sigma - \theta \\ &+ \theta \exp \left(-\frac{x_n}{2\sigma^2} \right) \sum_{i=0}^{r-1} \frac{(x_n/2\sigma^2)^i}{i!} \end{aligned} \quad (2.22)$$

형상 모수 ν 값은 상수(사전에 알고 있는 경우)라고 가정 했을 때 최우추정법을 이용하기 위하여 (2.22)식을 θ 와 σ^2 에 대하여 편미분을 하면 다음과 같은 식을 유도 할 수 있다.

$$\frac{n}{\theta} = 1 - \exp \left(-\frac{x_n}{2\sigma^2} \right) \sum_{i=0}^{r-1} \frac{(x_n/2\sigma^2)^i}{i!} \quad (2.23)$$

$$\begin{aligned} \frac{\nu n}{2\sigma^2} &= \frac{\theta}{2(\sigma^2)^2} - \frac{\theta \left[\theta \exp \left(-\frac{x_n}{2\sigma^2} \right) \sum_{i=0}^{r-1} \frac{(x_n/2\sigma^2)^i}{i!} \right]}{\theta \sigma^2} \\ &\quad - \frac{\sum_{i=1}^n x_i}{2(\sigma^2)^2} \end{aligned} \quad (2.24)$$

(2.23) 식과 (2.24) 식을 비선형 연립방정식(수치해석적 방법)을 이용하여 풀면 최우추정치 $\hat{\sigma}^2_{MLE}$ 와 $\hat{\theta}_{MLE}$ 의 값을 구 할 수 있다.

그러나 카이제곱 분포의 분포함수는 (2.7)식에서 보여 주듯이 자유도 n 가 짹수인 경우에만 닫힌 형태(폐쇄형: Closed form)가 되므로 본 논문에서는 자유도가 짹수인 경우 즉, $df=2, 4, 6$ 인 경우를 본 논문에서는 제시하고자 한다.

V. 소프트웨어 고장 자료 분석

이 장에서 실제적인 자료를 가지고 자유도에 따른 카이제곱 신뢰도 모형을 분석하고자 한다. 고장자료는 Allen P.Nikora 와 Michael R.Lyu 가 인용한 SYS2 자료[7]을 이용하고자 한다.

실제 분석에서는 원래의 자료를 변량변환(Variate transformation) 시킨 고장 간격 데이터(102594×10^{-4} 시간(Second) 단위에서 고장이 36번 일어남)을 이용하였고 <표 1>에 자료가 나열 되어 있다.

제시하는 신뢰모형들을 분석하기 위하여 우선 자료에 대한 추세 검정이 선행 되어야 한다[1,8].

추세 분석에는 산술평균 검정(Arithmetic mean test)과 라플라스 추세 검정(Laplace trend test)[7]등이 있다. 이 검정을 실시한 결과 (그림 2)에서 산술평균 검정결과 고장수가 증가함에 따라 산술 평균이 거의 증가 추세를 보이고 있으므로 신뢰성장(Reliability growth)이되고 있음을 나타내고 있고 (그림 3)에 나타난 라플라스 추세 검정의 결과도 라플라스 요인(Factor)이 음수로서 감소하기 때문에 역시 신뢰성장(Reliability growth)이 되고 있음을 나타내고 있다. 따라서 이 자료를 가지고 신뢰성장 모형을 제시하는 것이 효율적 임을 시사하고 있다[8].

소프트웨어 신뢰성 모형의 모두 추정은 최우추정법을 이용하였고 비선형 방정식의 계산방법은 수치해석적 기본 방법인 이분법(Bisection method)을 사용하였다. 이러한 계산은 초기값을 10^{-1} 와 10 을, 허용 한계(Tolerance for width of interval)는 10^{-10} 을 주고 수렴성을 확인 하면서 충분한 반복 횟수인 100번을 C-언어를 이용하여 모두 추정을 수행하였다.

자유도에 따른 카이제곱 모형을 포함한 모두의 추정값들의 결과는 <표 2>에 요약되었다.

표 1. 고장 간격 자료
Table 1. Failure interval time

Failure number	Failure interval(second)	Failure time(second)	Variate transformation time(second)
1	479	479	0.0479
2	266	745	0.0745
3	277	1022	0.1022
4	554	1576	0.1576
5	1034	2610	0.261
6	249	2859	0.2859
7	693	3552	0.3552
8	597	4149	0.4149
9	117	4266	0.4266
10	170	4436	0.4436
11	117	4553	0.4553
12	1274	5827	0.5827
13	469	6296	0.6296
14	1174	7470	0.747
15	693	8163	0.8163
16	1908	10071	1.0071
17	135	10206	1.0206
18	277	10483	1.0483
19	596	11079	1.1079
20	757	11836	1.1836
21	437	12273	1.2273
22	2230	14503	1.4503
23	437	14940	1.494
24	340	15280	1.528
25	405	15685	1.5685
26	535	16220	1.622
27	277	16497	1.6497
28	363	16860	1.686
29	522	17382	1.7382
30	613	17995	1.7995
31	277	18272	1.8272
32	1300	19572	1.9572
33	821	20393	2.0393
34	213	20606	2.0606
35	1620	22226	2.2226
36	1601	23827	2.3827
37	298	24125	2.4125
38	874	24999	2.4999
39	618	25617	2.5617
40	2640	28257	2.8257
41	5	28262	2.8262
42	149	28411	2.8411
43	1034	29445	2.9445
44	2441	31886	3.1886
45	460	32346	3.2346
46	565	32911	3.2911
47	1119	34030	3.403
48	437	34467	3.4467
49	927	35394	3.5394
50	4462	39856	3.9856
51	714	40570	4.057
52	181	40751	4.0751
53	1485	42236	4.2236
54	757	42993	4.2993
55	3154	46147	4.6147
56	2115	48262	4.8262
57	884	49146	4.9146
58	2037	51183	5.1183
59	1481	52664	5.2664
60	559	53223	5.3223
61	490	53713	5.3713
62	593	54306	5.4306
63	1769	56075	5.6075
64	85	56160	5.616
65	2836	58996	5.8996
66	213	59209	5.9209
67	1866	61075	6.1075
68	490	61565	6.1565
69	1487	63052	6.3052
70	4322	67374	6.7374
71	1418	68792	6.8792
72	1023	69815	6.9815
73	5490	75305	7.5305
74	1520	76825	7.6825
75	3281	80106	8.0106
76	2716	82822	8.2822
77	2175	84997	8.4997
78	3505	88502	8.8502
79	725	89227	8.9227
80	1963	91190	9.119
81	3979	95169	9.5169
82	1090	96259	9.6259
83	245	96504	9.6504
84	1194	97698	9.7698
85	994	98692	9.8692
86	3902	102594	10.2594

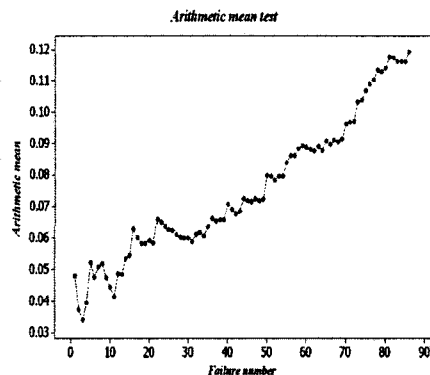


그림 2. 산술평균 검정
Figure 2. Arithmetic mean test

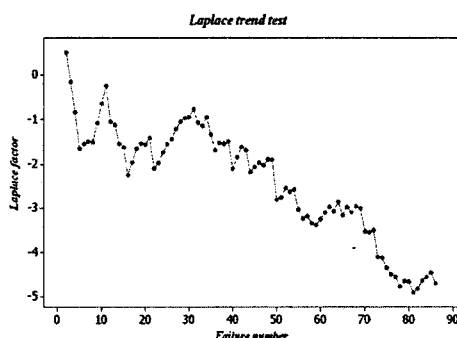


그림 3. 라플라스 추세 검정
Figure 3. Laplace trend test

표 2. 각 모형의 모수 추정값
Table 2. Estimator of each model

Model	MLE
Goel-Okumoto Model	$\hat{\beta}_{MLE} = 0.5527$ $\hat{\theta}_{MLE} = 98.3094$
Yamada-Ohba-Osaki Model	$\hat{\beta}_{2MLE} = 0.5706$ $\hat{\theta}_{MLE} = 89.8611$
Chi-square Model(df=2)	$\hat{\sigma}^2_{MLE} = 0.9371$ $\hat{\theta}_{MLE} = 95.0458$
Chi-square Model(df=4)	$\hat{\sigma}^2_{MLE} = 0.9517$ $\hat{\theta}_{MLE} = 88.1934$
Chi-square Model(df=6)	$\hat{\sigma}^2_{MLE} = 1.6784$ $\hat{\theta}_{MLE} = 87.1305$

이 분야에서는 일반적으로 모형 선택의 하나의 방법으로 편차자승합(SSE [9])을 많이 이용하여 왔다.

본 논문은 자유도에 의한 카이제곱 모형을 비교하기 위하여 자유도와 관련된 AIC(Akaike Information Criterion) 통계량을 이용하여 비교하고자 한다. 이 통계량은 적용모형에 대하여 자유도와 관련된 우도함수를 최대화 시켜주는 척도이다. 이 척도는 다음과 같이 정의된다[9].

$$AIC = -2 \log(\max \text{ of likelihood function}) + 2N$$

단, N 은 적용모형에 대한 모수의 수를 의미하고 이러한 AIC 척도는 SSE와 마찬가지로 작은 값을 가지는 모형이 상대적으로 효율적인 모형으로 간주된다. 이러한 결과는 <표 3>에 요약되었다. 이 표에서 카이제곱 분포 모형들이 자유도가 2인 경우를 제외하고는 이 분야에서 기존에 알려진 모형인 Yamada-Ohba-Osaki 모형이나 Goel-Okumoto 모형에 비해 상대적으로 효율적 모형으로 나타나고 있다.

표 3. 모형들에 대한 SSE 및 AIC의 값
Table 3. SSE and AIC of each model

Model	SSE	AIC
Goel-Okumoto Model	6057.3834	332.9096
Yamada-Ohba-Osaki Model	5086.1281	326.3824
Chi-square Model(df=2)	5409.2313	328.6828
Chi-square Model(df=4)	3377.8745	311.0964
Chi-square Model(df=6)	3167.1864	308.6910

예측 오차(prediction error)의 비정상성(nonstationarity)에 대한 측도는 Kolmogorov 거리(distance)[1,10,11]로 측정되는데 이 거리가 클수록 상대적으로 비정상성을 내포하고 있다. (그림 4)는 S-Plus 소프트웨어[12]를 이용하여 Kolmogorov 검정에 대한 그림을 보여주고 있고 이 그림에서도 전체적으로 카이제곱모형이 상대적으로 비정상성 속성이 덜 내포하고 있음을 알 수 있다. <표 4>는 Kolmogorov 거리를 요약한 표로서 모형에 대한 치우침(bias)을 나타내고 있다. 이 표에서도 카이제곱모형의 형태가 상대적으로 비정상성 속성이 덜 내포하고 있음을 알 수 있다.

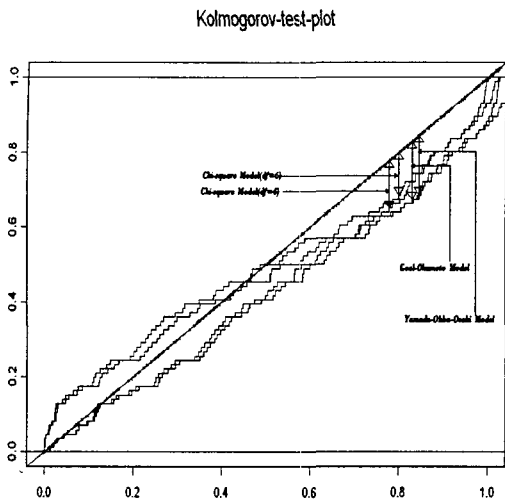


그림 4. 모형에 대한 Kolmogorov 검정 그림
Figure 4. Kolmogorov test of each model

표 4. 모형에 대한 Kolmogorov 거리
Table 4. Kolmogorov distance of each model

Model	Kolmogorov distance
Goel-Okumoto Model	0.159593
Yamada-Ohba-Osaki Model	0.155121
Chi-square Model(df=4)	0.127527
Chi-square Model(df=6)	0.113803

VI. 결론

소프트웨어 신뢰성은 개발의 최종단계에 있는 테스트 공정이나 실제 사용단계에 있어서 소프트웨어 내에 존재하는 고장 수나 고장 발생 시간에 의해서 효과적으로 평가할 수 있는 상황으로 그 평가 기술이 중요하게 된다. 따라서 소프트웨어 개발의 테스트 공정이나 실제 사용단계에 있어서 고장 발생 환경이나 고장 발생 현상을 수리적으로 모형화가 가능하면 평가를 할 수 있다. 테스트 시간이나 혹은 실행 시간, 발생된 고장 수와 고장 발생시간과의 관계를 효율적으로 관리함으로서 소프트웨어 신뢰도를 성장 시킬 수 있다. 이러한 과정을 소프트웨어 성장 과정이라고 볼 수 있다.

본 논문에서는 잔존 결함 1개당 고장 발생률이 증가추세를 가진 카이제곱 분포를 이용한 카이제곱 모형을 제안하였다. 고장 간격시간으로 구성된 자료를 이용하여 기존의 모형과 카이제곱 모형에 대하여 최우 추정법을 이용하여 모수 추정을 실시하였다. 카이제곱 모형에 대한 자유도를 형상모수의 척도로 간주하여 고장수가 비교적 큰 실측 자료(고장 수가 86)인 Allen P.Nikora 와 Michael R.Lyu 가 인용한 SYS2 자료을 통하여 분석하였다.

효율적인 모형 비교를 위한 편차자승합 결과와 AIC 통계량의 결과도 카이제곱 모형이 기존에 잘 알려진 Yamada-Ohba-Osaki 모형이나[13][14] Goel-Okumoto보다 우수함을 보이고 있고 쿨모고로프 거리의 결과도 카이제곱 모형이 상대적으로 정상성에 가까운 모형으로 간주 할 수 있다. 분석된 자료에 대한 평가에서도 산술평균 검정과 라플라스 추세 검정을 실시한 결과도 신뢰성장이 되고 있음을 나타내고 있다

참고문헌

- [1] S. S. Gokhale and K. S. Trivedi. "A time/structure based software reliability model". Annals of Software Engineering. 8, 85-121. 1999
- [2] J. F. Lawless. Statistical Models and Methods for Lifetime Data. John Wiley & Sons, New York, 1981.
- [3] L. Kuo and T. Y. Yang. "Bayesian Computation of Software Reliability". Journal of the American Statistical Association, Vol.91, pp.763-773, 1996.
- [4] V. K. Rohatgi. Statistical inference, pages 398-416. JOHN WILEY & SONS, INC., New York, 1984.
- [5] A. L. Goel and K. Okumoto. "Time-Dependent Error-Detection Rate Models for Software Reliability and Other Performance Measures". IEEE Trans. on Reliability, R-28(3):206-211, Aug. 1979.

- [6] S. Yamada, M. Ohba and S. Osaki. "S-Shaped Reliability Growth Modeling for Software Error Detection". IEEE Trans. on Reliability. R-32(5): 475-485, Dec. 1983.
- [7] A. P. Nikora and M. R. Lyu. Handbook of Software Reliability Engineering, M.R.Lyu, Editor, chapter Software Reliability Measurement Experience, pp. 255-301. MacGraw-Hill, New York, 1996.
- [8] K. Kanoun and J. C. Laprie. Handbook of Software Reliability Engineering, M.R.Lyu, Editor, chapter Trend Analysis, pp.401-437. MacGraw-Hill, New York, 1996.
- [9] H. Pham and L. Nordmann and X. Zhang "A General Imperfect-Software-Debugging Model with S-Shaped Fault-Detection Rate". IEEE Trans. on reliability, VOL. 48, NO 2, 1999.
- [10] M. R. Lyu. Handbook of Software Reliability Engineering, M.R.Lyu, Editor, chapter Introduction, pp.3-25. MacGraw-Hill, New York, 1996.
- [11] W. Q. Meeker and L. A. Escobar. Statistical Methods for Reliability Data, pages 98-101. JOHN WILEY & SONS, INC., New York, 1998.
- [12] S. Selvin. Modern Applied Biostatistical Methods Using S-Plus, pages 141-184. Oxford University Press, New York, 1998.
- [13] 김희철, "일반화감마분포를 이용한 NHPP 소프트웨어 신뢰도 모형에 관한 연구", 한국컴퓨터정보학회논문지, 제10권(6호), pp.27-36, 2005, 12
- [14] 김홍진, "소프트웨어 재사용을 위한 소프트웨어 칩 표 현식에 관한 연구", 한국컴퓨터정보학회논문지, v.006, n.004, pp.12-20, 2001, 12

저자 소개



김희철

1992년 동국대학교 통계학과 석사
 1998년 동국대학교 통계학과 박사
 2000년 3월 ~ 2004년 2월 송호대학
 정보산업계열 조교수
 2005년 3월 ~ 현재 : 남서울대학교
 산업경영공학과 전임강사
 〈관심분야〉 소프트웨어 신뢰성공학,
 웹프로그래밍, 전산통계,
 인터넷비즈니스